

# Identification et Filtrage (IDFIL)

## Travaux Pratiques n° 2

---

HOUSSEYNE NADOUR

Master ARIA, ASI

Sous direction de l'enseignant  
SAÏD MOUSSAOUI

---

31 décembre 2017

### Résumé

*L'objectif de ce TP est de mettre en pratique, les différents techniques de l'identification, et comparer entre ces méthodes, les modèles à modéliser sont des modèles à temps continue et des modèles à temps discret, ARX, ARMAX, Variable instrumentale..., Ce travail est composé de trois parties, dans chaque partie on analyse ces différents types de méthodes.*

### TABLE DES MATIÈRES

	iv	La fonction validation(modex,modid)	6
	v	Moindre carré . . . . .	7
	vi	Méthode de variable instrumentale	7
	vii	Méthode de maximum vraisemblance . . . . .	7
	viii	Méthode de l'erreur de sortie . . . .	8
	ix	La fonction analyse(modex,modid)	8
	<b>II</b>	<b>Identification d'une maquette d'asservissement de position</b>	<b>8</b>
<b>I</b>	<b>i</b>	<b>Identification d'un processus simulé :</b>	<b>2</b>
	i	Fonction Matlab (simulsys) qui permet de simuler le système . . . .	2
	ii	Simulation du système . . . . .	2
	ii.1	degré de persistance . . . . .	3
	ii.2	La réponse fréquentielle du système : . . . . .	3
	ii.3	Le spectre du signal d'entrée SBPA : . . . . .	3
	ii.4	Le spectre du signal de sortie : . . . .	4
	iii	Identification du système . . . . .	4
	iii.1	Moindres carrés ordinaires . . . . .	4
	iii.2	Variable instrumentale à quatre étages . . . . .	4
	iii.3	Maximum de vraisemblance . . . . .	5
	iii.4	Méthode d'erreur de sortie . . . . .	6
	i	Modélisation du processus . . . . .	8
	i.1	La fonction de transfert entre Z et la consigne . . . . .	8
	i.2	La forme de la fonction de transfert discrète entre Z et la consigne . . . . .	8
	i.3	Identification du processus . . . . .	9
	i.4	Les paramètres de la fonction de transfert . . . . .	9
	i.5	Identification en utilisant la fonction de transfert discrète . . . . .	9

i.6	Validation . . . . .	10
ii	Identification direct en utilisant . .	10
ii.1	Validation . . . . .	11
iii	Identification direct en utilisant la fonction idgrey et pem . . . . .	11
<b>III</b>	<b>Identification d'un système acoustique</b>	<b>12</b>
i	découplage de données en trois parties . . . . .	12
ii	identification le modèles à temps discret à partir de chaque jeu de données . . . . .	12
iii	Validation croisée: . . . . .	13
iv	La réponse impulsionnelle . . . . .	13
v	Identification pour plusieurs ordres de modèles . . . . .	13

## I. IDENTIFICATION D'UN PROCESSUS SIMULÉ :

Le système à identifier est un système discret (ou échantillonné), et le modèle est de la forme ARMAX.

### i. Fonction Matlab (simulsys) qui permet de simuler le système

Les polynômes de ce modèle ARMAX sont :

$$A = [1 - 2.351.88 - 0.51]$$

$$B = [0 - 0.020.020.02]$$

$$C = [1 - 1.660.83 - 1.32]$$

$$F = 1 \text{ et } D = 1$$

Le code script pour la fonction simulsys est le suivant :

**Listing 1** – Le script de la fonction (simulsys) qui permet de simuler le système

```

1  function [data , ModelExact] =
      simulsys(N,Te,a,b,sigma,
      perturbation)
2
3  A= [1 -2.35 1.88 -0.51];
4  B = [0 -0.02 0.02 0.02];
5  C = [1 -1.66 0.83 -1.32];
6  D = 1 ;
7  F = 1 ;
8  ModelExact = idpoly(A,B,C,D,F,sigma,Te)
      ;
9
10 % sequence binaire pseudo-aleatoire
11 U = a*idinput(N,'RBS',[0 1/b]);
12
13 options = simOptions('AddNoise',
      perturbation);
14 Y = sim(ModelExact, U, options);
15 data = iddata( Y,U,Te) ;
16
17 end

```

### ii. Simulation du système

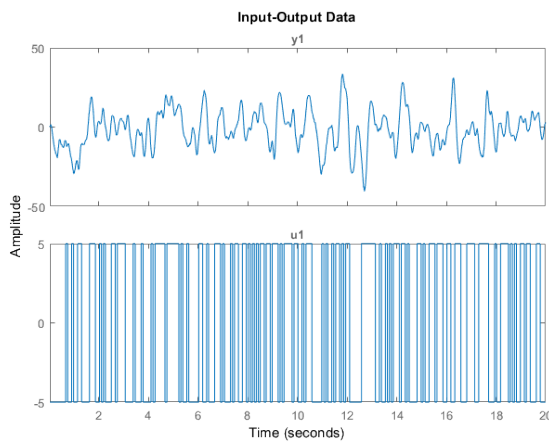
Le script Matlab pour la simulation :

**Listing 2** – Le script pour simuler le système en utilisant la fonction (simulsyst)

```

1 %% 2) simulation de la process:
2 N = 1000; Te = 0.02 ; a=5; b=4; sigma =
   0.4;
3 perturbation = true;
4 [data, modex] = simulsyst(N,Te,a,b,
   sigma,perturbation);
5 plot(data);
6
7 %le degre de persistance:
8 Ped = pexcit(data);
    
```

Le résultat de la simulation :



**FIGURE 1** – la simulation du système

Le script suivant est pour analyser la réponse fréquentielle du système, le SBPA, et la sortie :

**Listing 3** – Le script pour analyser le système et les entrées et les sorties

```

1 % La reponse frequentielle du systeme:
2 figure(2)
3 margin(d2c(modex,'tustin'));
4
5 % Le spectre du SBPA :
6 figure(3)
7 fe =1/Te;
8 ffc = (0:length(data.u)-1)*(fe/length(
   data.u));
9 fft_u = fft(data.u);
10 plot(ffc, abs(fft_u/length(data.u)));
11 % Autocorrelation du SBPA:
12 [Ruu, Tau] = xcorr(data.u,'unbiased');
13 plot(Tau,Ruu);
    
```

```

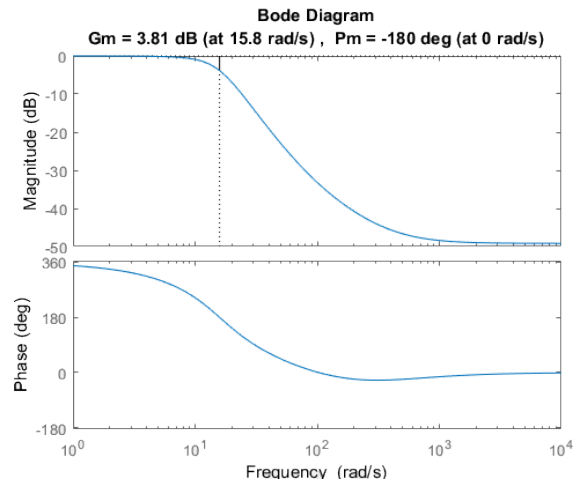
14 % Le spectre de la sortie:
15 figure(4)
16 ffc = fe*(0:length(data.y)-1)/length(
   data.y);
17 fft_y = fft(data.y);
18 plot(ffc, abs(fft_y/length(data.y)));
    
```

## ii.1 degré de persistance

Le degré de persistance du signal d'entrée (SBPA) est 50, que signifie que ce signal est riche en fréquences (au moins 50 fréquences distinctes), et ça nous permet d'identifier le système avec une grande précision parce que le signal permet d'obtenir un modèle avec 50 paramètres si on veut augmenter la précision.

## ii.2 La réponse fréquentielle du système :

La simulation du script en dessus, nous permet d'obtenir le résultat suivant :



**FIGURE 2** – la réponse fréquentielle du système

### Remarque :

Le système ressemble à un filtre Passe Bas, avec une fréquence de coupure 15.8.

### ii.3 Le spectre du signal d'entrée SBPA :

Le degré de persistance du signal d'entrée (qui est 50), et le graph du spectre nous ont montré que le signal SBPA a été bien choisi pour exciter toutes les fréquences du système afin d'avoir une précision élevée du modèle identifié.

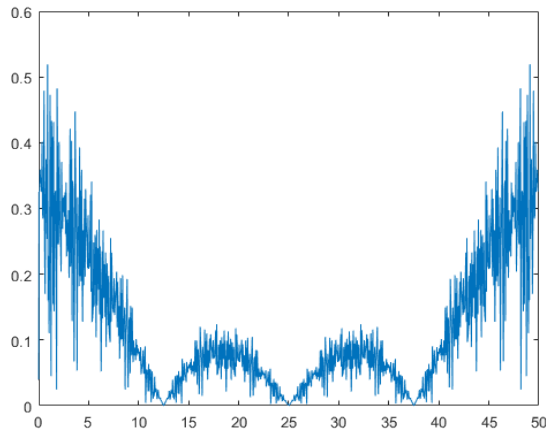


FIGURE 3 – le spectre du SBPA

#### Remarque :

Le signal est riche en fréquences et contient toutes les fréquences du système (la bande passante du système).

### ii.4 Le spectre du signal de sortie :

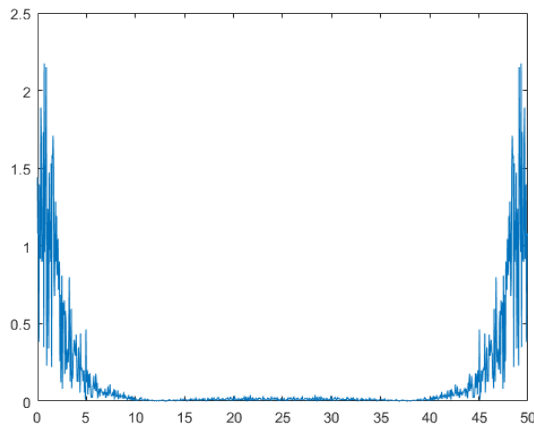


FIGURE 4 – le spectre du signal de sortie

#### Remarque :

La réponse fréquentielle du système explique bien ce résultat, en effet on voit que toutes les fréquences supérieures à 15 Hz sont rejetées, c'est l'effet que le système est un filtre passe bas à 15 Hz de fréquence de coupure.

### iii. Identification du système

On utilise plusieurs méthodes, et pour chaque méthode on utilise un algorithme qui cherche les ordres de modèle pour lesquels le FPE du système est optimal (le code qui est utilisé dans le TD pour chercher un FPE optimal).

#### iii.1 Moindres carrés ordinaires

Le système maintenant est considéré comme ARX, et on a supposé qu'il n'y pas de bruit (malgré que le bruit exit sur le système à identifier).

**Listing 4** – Le script Identifier le système par la méthode moindré carré

```
1 %% A) Moindre carre:
2 disp('Moindre carre:');
3 na=1:5 ; nb=1:5; nk = 1;
4 order = struc(na,nb,nk);
5 Modcc = cell(size(order,1),1);
6 for ct = 1:size(order,1)
7 Modcc{ct} = arx(data, order(ct,:));
8 end
9 V = fpe(Modcc{:});
10 [Vmin, order_min] = min(V)
11 orderes= order(order_min,:)
12 modcc = arx(data, order(order_min,:))
```

La simulation nous donne le résultat suivants :

```
modcc =
Discrete-time ARX model: A(z)y(t) = B(z)u(t) + e(t)

A(z) = 1 - 1.666 z^-1 + 0.1619 z^-2 + 0.9241 z^-3 - 0.2878 z^-4 - 0.1015 z^-5

B(z) = -0.01241 z^-1 + 0.01136 z^-2 + 0.02675 z^-3

Sample time: 0.02 seconds

Parameterization:
Polynomial orders: na=5 nb=3 nk=1
Number of free coefficients: 8
Use "polydata", "getpvec", "getcov" for parameters and their uncertainties.

Status:
Estimated using ARX on time domain data "data".
Fit to estimation data: 89.19% (prediction focus)
FPE: 1.349, MSE: 1.315
```

**FIGURE 5** – le modèle trouvé par le moindré carré

Remarque : Le degré pour lequel le FPE est optimale est :  $na = 5$ ,  $nb = 3$ , et  $nk = 1$ .

#### iii.2 Variable instrumentale à quatre étages

Le système maintenant est considéré comme ARX, mais en considérant que le bruit cette fois ci. La méthode IV ajoute une variable instrumen-

tales pour rejeter l'effet du bruit du système sur l'identification.

**Listing 5** – Le script Identifier le système par la méthode de Variable instrumentale

```
1 %% B)Variabale instrumentale:
2 disp('Variabale instrumentale:');
3 na=1:5 ; nb=1:5; nk = 1;
4 order = struc(na,nb,nk);
5 Modiv4= cell(size(order,1),1);
6 for ct = 1:size(order,1)
7 Modiv4{ct} = iv4(data, order(ct,:));
8 end
9 V = fpe(Modiv4{:});
10 [Vmin, order_min] = min(V)
11 orderes= order(order_min,:)
12 modiv4= iv4(data, order(order_min,:))
```

La simulation nous donne le résultat suivants :

```
modiv4 =
Discrete-time ARX model: A(z)y(t) = B(z)u(t) + e(t)
A(z) = 1 - 1.807 z^-1 + 0.8598 z^-2

B(z) = -0.02884 z^-1 + 0.02535 z^-2 + 0.006738 z^-3 + 0.02976 z^-4

Sample time: 0.02 seconds

Parameterization:
Polynomial orders: na=2 nb=4 nk=1
Number of free coefficients: 6
Use "polydata", "getpvec", "getcov" for parameters and their uncertainties.

Status:
Estimated using IV4 on time domain data "data".
Fit to estimation data: 88.57% (prediction focus)
FPE: 1.619, MSE: 1.6
```

**FIGURE 6** – le modèle trouvé par la Variable instrumentale

Remarque : Le degré pour lequel le FPE est optimale est :  $na = 2$ ,  $nb = 4$ , et  $nk = 1$ .

#### iii.3 Maximum de vraisemblance

Le système maintenant est considéré comme ARMAX, et cette méthode va prendre en considération l'effet du bruit.

**Listing 6** – Le script Identifier le système par la méthode Maximum de vraisemblance

```
1 %% C) Maximum de vraisemblance
2
3 disp('Maximum de vraisemblance');
4 na=1:5 ; nb=2:5; nc=2:5; nk = 1;
5 order = struc(na,nb,nc,nk);
6 Modmv= cell(size(order,1),1);
7 for ct = 1:size(order,1)
```

```

8 Modmv{ct} = armax(data, order(ct,:));
9 end
10 V = fpe(Modmv{:});
11 [Vmin, order_min] = min(V)
12 orderes= order(order_min,:)
13 modmv= armax(data, order(order_min,:))
    
```

La simulation nous donne le résultat suivants :

```

modmv =
Discrete-time ARMAX model: A(z)y(t) = B(z)u(t) + C(z)e(t)
A(z) = 1 - 1.149 z^-1 + 0.0105 z^-2 - 0.3846 z^-3 + 1.004 z^-4 - 0.4106 z^-5

B(z) = -0.02474 z^-1 + 0.001213 z^-2 + 0.02235 z^-3 + 0.04297 z^-4 + 0.0254 z^-5

C(z) = 1 + 0.6037 z^-1 + 1.081 z^-2 - 0.01634 z^-3 + 0.205 z^-4 - 0.41 z^-5

Sample time: 0.02 seconds

Parameterization:
Polynomial orders: na=5 nb=5 nc=5 nk=1
Number of free coefficients: 15
Use "polydata", "getpvec", "getcov" for parameters and their uncertainties.

Status:
Estimated using ARMAX on time domain data "data".
Fit to estimation data: 91.14% (prediction focus)
FPE: 0.9904, MSE: 0.9612
    
```

**FIGURE 7** – le modèle trouvé par Maximum de vraisemblance

Remarque : Le degré pour lequel le FPE est minimale est :  $nb = 5$ ,  $nb = 5$ , et  $nk = 1$ .

Changement de paramètres pour améliorer l'identification : Méthode d'erreur de sortie

On utilise ce scripte :

**Listing 7** – Le script pour le changement de paramètres pour améliorer l'identification

```

1 % changer les parametres de ARMAX.
2 opt = armaxOptions;
3 opt.Focus = 'simulation';
4 opt.SearchOption.MaxIter = 100;
5 opt.Display = 'off';
6 opt.SearchOption.Tolerance = 1e-10;
7 disp('gn');
8 opt.SearchMethod = 'gn';
9 modmv= armax(data, [3 3 3 1],opt)
10 disp('lm');
11 opt.SearchMethod = 'lm';
12 modmv= armax(data, [3 3 3 1],opt)
13 disp('gna');
14 opt.SearchMethod = 'gna';
15 modmv= armax(data, [3 3 3 1],opt)
16 disp('grad');
17 opt.SearchMethod = 'grad';
18 modmv= armax(data, [3 3 3 1],opt)
19 disp('lsqnonlin');
20 opt.SearchMethod = 'lsqnonlin';
21 modmv= armax(data, [3 3 3 1],opt)
    
```

```

22 disp('auto');
23 opt.SearchMethod = 'auto';
24 modmv= armax(data, [3 3 3 1],opt)
    
```

Remarque : Les résultats de simulation sont toujours les mêmes sauf pour l'option 'grad', qui donne des résultats non désirés.

### iii.4 Méthode d'erreur de sortie

Le script utilisé :

**Listing 8** – Le script Identifier le système par la méthode Méthode d'erreur de sortie

```

1 %% D) Erreur de sortie :
2
3 disp('Erreur de sortie');
4 nb=2:5 ; nf=2:5;nk = 1;
5 order = struc(nb, nf ,nk);
6 Modoe= cell(size(order,1),1);
7 % les options de oe:
8 opt = oeOptions;
9 opt.SearchOption.MaxIter = 100;
10 opt.SearchOption.Tolerance = 1e-10;
11 opt.SearchMethod = 'lm';
12 % calcul:
13 for ct = 1:size(order,1)
14 Modoe{ct} = oe(data, order(ct,:));
15 end
16 V = fpe(Modoe{:});
17 [Vmin, order_min] = min(V);
18 orderes= order(order_min,:);
19 modoe= oe(data, order(order_min,:))
20 compare(data,modex , modoe)
    
```

La simulation nous donne le résultat suivants :

```

>> modoe= oe(data, order(order_min,:))
compare(data_sans_bruit,modex_sans_bruit,modoe)

modoe =
Discrete-time OE model: y(t) = [B(z)/F(z)]u(t) + e(t)
      B(z) = 0.02887 z^-1 - 0.05694 z^-2 + 0.02865 z^-3
      F(z) = 1 - 3.883 z^-1 + 5.696 z^-2 - 3.742 z^-3 + 0.929 z^-4

Sample time: 0.02 seconds

Parameterization:
  Polynomial orders:  nb=3  nf=4  nk=1
  Number of free coefficients: 7
  Use "polydata", "getpvec", "getcoov" for parameters and their

Status:
Estimated using OE on time domain data "data".
Fit to estimation data: 10.5%
FPE: 126.5, MSE: 124.8
    
```

```

8 disp('Variable instrumentale');
9 validation(data,data_no_perturbation,
      modiv4,7);
10 disp('Maximum de vraisemblance');
11 validation(data,data_no_perturbation,
      modmv,8);
12 disp('Erreur de sortie');
13 validation(data,data_no_perturbation,
      modoe,9);
    
```

**FIGURE 8** – le modèle trouvé par Méthode d'erreur de sortie

La simulation donne les résultats suivants :

#### iv. La fonction validation(modex,modid)

Le script de cette fonction :

**Listing 9** – Le script de la fonction validation(modex,modid)

```

1 function validation(data,
      data_no_perturbation,modid,
      figureNumber)
2 present(modid);
3 figure(figureNumber);
4 subplot(2,1,1);
5 compare(data_no_perturbation,modid);
6 subplot(2,1,2);
7 resid(data,modid);
8 end
    
```

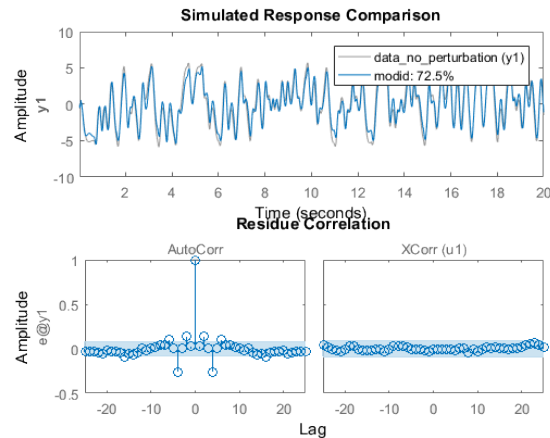
Le script suivant est pour comparer le modèles en utilisant la fonction 'validation' :

**Listing 10** – Le script de la fonction validation(modex,modid)

```

1 %% 4)validation par la fonction
      validation(data,modid):
2 clc;
3 perturbation = false;
4 [data_no_perturbation,
      modex_no_perturbation] = simulst(
      N,Te,a,b,sigma,perturbation);
5 validation(data, data_no_perturbation,
      modex_no_perturbation,5);
6 disp('Moindre Carre');
7 validation(data, data_no_perturbation,
      modcc,6);
    
```

#### v. Moindre carré



**FIGURE 9** – le modèle trouvé par Méthode d'erreur de sortie

## vi. Méthode de variable instrumentale

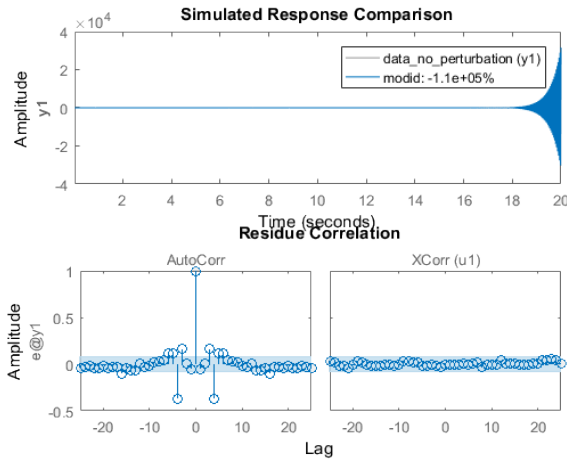


FIGURE 10 – le modèle trouvé par Méthode d'erreur de sortie

## vii. Méthode de maximum vraisemblance

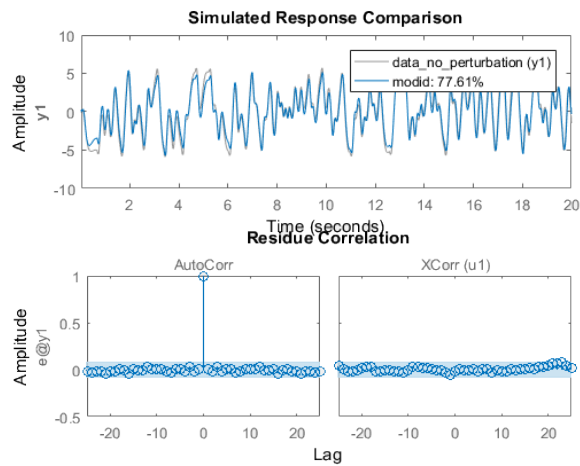


FIGURE 11 – le modèle trouvé par Méthode d'erreur de sortie

## viii. Méthode de l'erreur de sortie

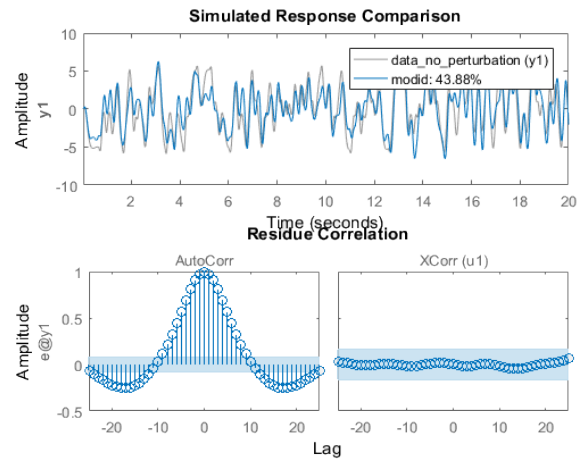


FIGURE 12 – le modèle trouvé par Méthode d'erreur de sortie

## ix. La fonction analyse(modex,modid)

Le script de cette fonction :

Listing 11 – Le script de la fonction analyse(modex,modid)

```

1  %% Do the experiment:
2  load('tergane20.mat')
3
4  %% Creat an object of data:
5  Te = 1/1000;
6  data = iddata(z,yc,Te);
7  plot(data);
    
```

## II. IDENTIFICATION D'UNE MAQUETTE D'ASSERVISSEMENT DE POSITION

## i. Modélisation du processus

## i.1 La fonction de transfert entre Z et la consigne

Pour cela, on calcul la fonction de transfert entre Y et la consigne. La fonction de transfert entre Y et U en boucle ouverte :

$$G_0(s) = \frac{Y(s)}{U(s)}$$



En boucle fermée la fonction de transfert entre Y et la consigne est :

$$\frac{Y}{Y_c} = \frac{G_0.P}{1 + G_0.P}$$

Par contre :

$$\frac{Z}{Y} = \frac{\frac{Z}{U}}{\frac{Y}{U}} = \frac{K_z.s}{K_y}$$

En on déduit que :

$$Z = \frac{K_z.s}{K_y} \cdot Y = \frac{K_z.s}{K_y} \cdot \frac{G_0.P}{1 + G_0.P} \cdot Y_c$$

Il résulte que :

$$\frac{Z(s)}{Y_c(s)} = \frac{K_z.P.s}{s.(1 + T_1.s).(1 + T_2.s) + K_y.P}$$

Où bien :

$$\frac{Z(s)}{Y_c(s)} = \frac{K_z.P.s}{T_1.T_2.s^3 + (T_1 + T_2).s^2 + s + K_y.P}$$

$$\frac{Z(s)}{Y_c(s)} = \frac{b_1.s + b_0}{a_3.s^3 + a_2.s^2 + a_1.s + a_0}$$

telle que :

$$b_0 = 0$$

$$b_1 = K_z.P$$

$$a_0 = K_y.P$$

$$a_1 = 1$$

$$a_2 = T_1 + T_2$$

$$a_3 = T_1.T_2$$

## i.2 La forme de la fonction de transfert discrète entre Z et la consigne

Si on utilise la transformation bilinéaire :

$$s = \frac{2}{T_e} \frac{1 - z^{-1}}{1 + z^{-1}}$$

On obtient une fonction dont la forme est

$$F(z) = \frac{b_1 \cdot \frac{2}{T_e} \frac{1 - z^{-1}}{1 + z^{-1}}}{a_3 \cdot \left(\frac{2}{T_e} \frac{1 - z^{-1}}{1 + z^{-1}}\right)^3 + a_2 \cdot \left(\frac{2}{T_e} \frac{1 - z^{-1}}{1 + z^{-1}}\right)^2 + a_1 \cdot \left(\frac{2}{T_e} \frac{1 - z^{-1}}{1 + z^{-1}}\right) + a_0}$$

En multipliant le numérateur et dénominateur par  $(1 + z^{-1})^3$  on obtient un fonction dont les degrés de numérateur et dénominateur égalent à 3 :

$$F_z = \frac{\beta_0 + \beta_1.z^{-1} + \beta_2.z^{-2} + \beta_3.z^{-3}}{\alpha_0 + \alpha_1.z^{-1} + \alpha_2.z^{-2} + \alpha_3.z^{-3}}$$

## i.3 Identification du processus

## i.4 Les paramètres de la fonction de transfert

On a montré que :

$$\frac{Z(s)}{Y_c(s)} = \frac{b_1.s + b_0}{a_3.s^3 + a_2.s^2 + a_1.s + a_0}$$

telle que :

$$b_0 = 0$$

$$b_1 = K_z.P$$

$$a_0 = K_y.P$$

$$a_1 = 1$$

$$a_2 = T_1 + T_2$$

$$a_3 = T_1.T_2$$

## i.5 Identification en utilisant la fonction de transfert discrète

si on suppose qu'on utilise un bloqueur d'ordre 0 alors :

$$F_z = \frac{Z(z)}{Y_c(z)} = ((1 - z^{-1})^0 T Z(\frac{Z(s)}{Y_c(s).s}))$$

La fréquence d'échantillonnage est de  $1\text{kHz}$ , que signifie que la période est  $T_e = \frac{1}{1000}$  ; Le script suivant est pour charger les données de l'expérimentation dans un objet de 'data' :

**Listing 12** – Le script pour charger et simuler les données de l'expérimentation

```

1 %% Do the experiment:
2 load('tergane20.mat')
3
4 %% Creat an object of data:
5 Te = 1/1000;
6 data = iddata(z,yc,Te);
7 plot(data);
    
```

La simulation donne :

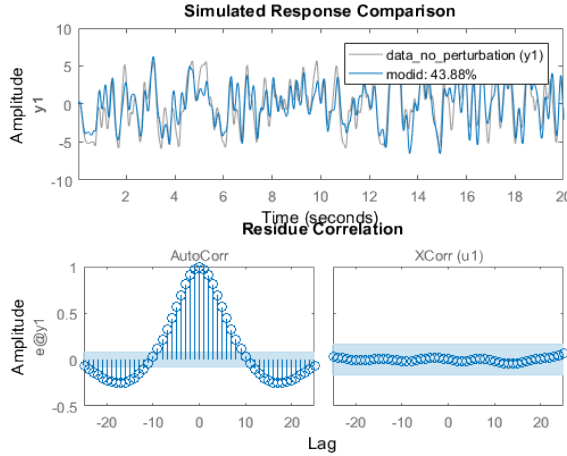


FIGURE 13 – Simulation les donnée de l'expérience

L'entrée est un signalé carrée périodique.  
Le script suivant est pour utiliser la méthode de l'erreur de sortie pour identifier le système :

Listing 13 – Le script pour identifier le système

```
1 %% Identification:
2 nb=3 ; nf=3; nk = 0;
3 modoe = tf(oe(data, [nb nf nk]));
4 Fs = tf(d2c(modoe, 'zoh'));
```

Le résultat de compilation donne :

$$F(s) = \frac{-0.01831s^3 - 17.44s^2 + 1.498e04s + 1536}{s^3 + 605.7s^2 + 3.684e04s + 2.818e06}$$

On remarque que dans le numérateur, les termes multipliés par  $s^3, s^2$ , et  $s^0$  sont trais négligeable par rapport á celui multiplié par  $s$ , donc on peut prendre :

$$F(s) = \frac{1.498e04s}{s^3 + 605.7s^2 + 3.684e04s + 2.818e06}$$

en devisant le numérateur et le dénomératuer par 3.684e04 on obitient :

$$F(s) = \frac{0.4066s}{2.714e-05s^3 + 0.01644s^2 + s + 76.49}$$

D'où

$$b_1 = K_z \cdot P = 0.4066$$

$$a_0 = K_y \cdot P = 76.49$$

$$a_1 = 1$$

$$a_2 = T_1 + T_2 = 0.01644$$

$$a_3 = T_1 \cdot T_2 = 2.714e-05$$

On en déduit que :

$$K_z = b_1 / P = 0.1402$$

$$K_y = a_0 / P = 26.3769$$

$$T_1 = (a_2 + \sqrt{a_2^2 - 4 \cdot a_3}) / 2 = 0.0146$$

$$T_2 = a_2 - T_1 = 0.0019$$

Le script suivant est pour calculer  $F(s)$  et la valider :

 Listing 14 – Le script pour calculer  $F(s)$  et la simuler

```
1 %% aproximation:
2 aa = 3.684e04;
3 b0 = 1536/aa;
4 b1 = 1.498e04/aa;
5 a0 = 2.818e06/aa;
6 a1=1;
7 a2 = 605.7/aa;
8 a3 = 1/aa;
9 F= tf([b1 b0*0],[a3 a2 a1 a0])
10
11 %Validation:
12 figure(2);
13 compare(data,modoe, F);
14 % Les parametres:
15 P= 2.90
16 Kz = b1 / P
17 Ky = a0/P
18 T1 = (a2+sqrt(a2^2-4*a3))/2
19 T2 = a2-T1
20 compare(data,modoe,Fs);
```

## i.6 Validation

si on compare la la fonction  $F(s)$  avec les données de l'expérimentation on trouve un  $FIT = 90.21\%$ , comme la figure montre :

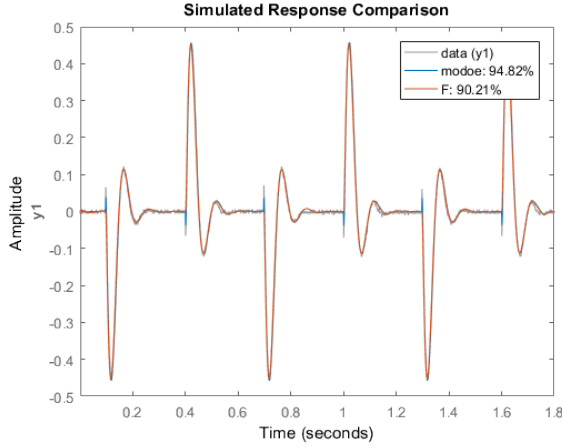


FIGURE 14 – Comparaison

Remarque L'identification est assez précise que le  $FIT = 90.21\%$

## ii. Identification direct en utilisant

Le script pour identifier directement le système :

```

1 %% Using the methode of identc:
2 F_identc=identc(data,[3 1 0], [3 1 0], '
   gpmfn', 100, 'final');
3 % B(s) = 7524 s + 228.2
4 % F(s) = s^3 + 312 s^2 + 2.068e04 s +
   1.383e06
5 aa_=2.068e04;
6 b0_ = 228.2/aa_;
7 b1_ = 7524/aa_;
8 a3_ = 1/aa_; a2_ = 312 /aa_; a1_ = 1;
   a0_ = 1.383e06/aa_;
9 F_ = tf([b1_ b0_*0],[a3_ a2_ a1_ a0_])
10 % Validation:
11 figure(3);
12 compare(data,F_identc,F_);
    
```

De la même façon on trouve que :

$$F(s) = \frac{7524s + 228.2}{s^3 + 312s^2 + 2.068e04s + 1.383e06}$$

$$\simeq \frac{0.3638s}{4.836e-05s^3 + 0.01509s^2 + s + 66.88}$$

Et on en déduit les paramètres physiques :

$$K_z = b1/P = 0.1255$$

$$K_y = a0/P = 23.0608$$

$$T_1 = (a2 + \sqrt{a2^2 - 4 * a3})/2 = 0.0105$$

$$T_2 = a2 - T1 = 0.0046$$

### ii.1 Validation

L'identification est assez précise (surtout pour la commande) :

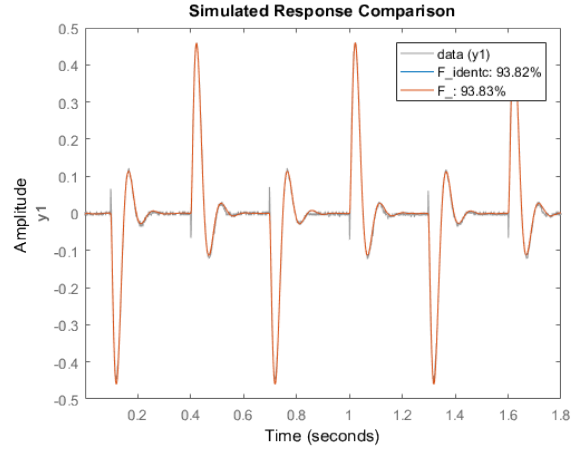


FIGURE 15 – Comparaison

### iii. Identification direct en utilisant la fonction idgrey et pem

On a la fonction de transfert est de la forme suivante :

$$F(s) = \frac{Z(s)}{Y_c(s)} = \frac{b_1.s}{a_3.s^3 + a_2.s^2 + a_1.s + a_0}$$

$$= \frac{\frac{K_z.P}{T_1.T_2} s}{s^3 + \frac{T_1+T_2}{T_1.T_2} s^2 + \frac{1}{T_1.T_2} s + \frac{K_y.P}{T_1.T_2}}$$

$$= \frac{\beta_1.s}{s^3 + \alpha_1.s^2 + \alpha_2.s + \alpha_3}$$

Si on prend  $x_3 = Z$ ,  $x_2 = \dot{Z}$ , et  $x_1 = \ddot{Z}$  on obtient la forme canonique suivante :

$$\dot{X} = \begin{pmatrix} -\alpha_1 & -\alpha_2 & -\alpha_3 \\ 1 & 0 & 0 \\ 0 & 1 & 0 \end{pmatrix} X + \begin{pmatrix} 1 \\ 0 \\ 0 \end{pmatrix} Y_c \quad (1)$$

$$Z = \begin{pmatrix} 0 \\ b_1 \end{pmatrix} X \quad (2)$$

Le script pour la fonction idgrey :

```

1 function [A, B, C, D] = Maquette(T_1,
2   T_2, Ky_, Kz_, Ts)
3
4 a1 = 1/T_1 + 1/T_2;
5 a2 = 1/T_2/T_1;
6 a3 = Ky_*P/T_1/T_2;
7
8 b1=0;
9 b2 = Kz_*P/T_1/T_2;
10 b3 = 0;
11
12 A= [-a1 -a2 -a3
13     1 0 0
14     0 1 0];
15
16 B = [b2;0;0];
17
18 C = [0 1 0];
19
20 D = 0;
21
22 end
    
```

Le script pour l'identification :

```

1 % initial values:
2 T1 = 1;
3 T2 = 1;
4 Ky = 1;
5 Kz= 1;
6 parameters = {'T1',T_1;'T2',T_2;'Ky',
7   Ky_;'Kz',Kz_};
8 sysI=idgrey('Maquette',parameters,'c');
9 sys=pem(data,sysI)
10 compare(data,sysI,sys)
11 b2 = 8400;
12 a1 = 350 ; a2 = 2.253e04; a3= 1.549e06
13   ;
14 Kz= b2 / P/a2
15 Ky = a3/P/a2
16 T1 = (a1/a2+sqrt((a1/a2)^2-4*a2))/2
17 T2 = 1/a2/T1
    
```

Le résultat de simulation :

Fit to estimation data : 94.02%  
 FPE :  $6.008e-05$ , MSE :  $5.981e-05$

La comparaison avec les données 'data' :

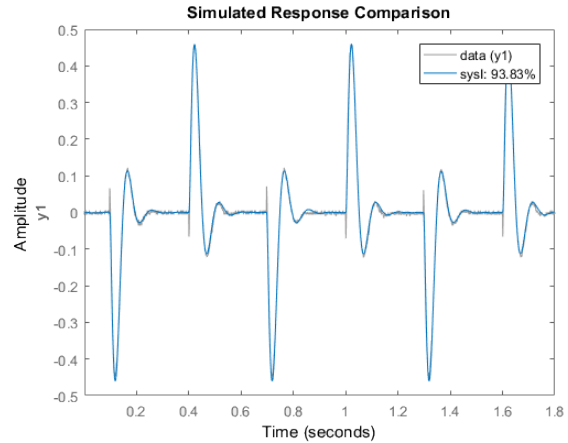


FIGURE 16 – Comparaison

La fonction

$$F(s) = \frac{8400s}{s^3 + 350s^2 + 2.253e04s + 1.549e06}$$

Les valeurs estimées des paramètres :

$$K_z = b1/P = 0.1286$$

$$K_y = a0/P = 23.7079$$

$$T_1 = (a2 + \sqrt{a2^2 - 4 * a3})/2 = 0.0118$$

$$T_2 = a2 - T1 = 0.0038$$

### III. IDENTIFICATION D'UN SYSTÈME ACOUSTIQUE

#### i. découplage de données en trois parties

```

1 %% Load the data:
2 clc,clear;
3 load('tube.mat')
4 plot(data)
5
6 %% 1) Decouper les donnees:
7 data1= data(1:24000/3);
8 data2= data(24000/3+1:24000*2/3);
9 data3= data(24000*2/3+1:24000);
10 plot(data1,data2,data3)
    
```

présentation des trois morceaux en même plan :

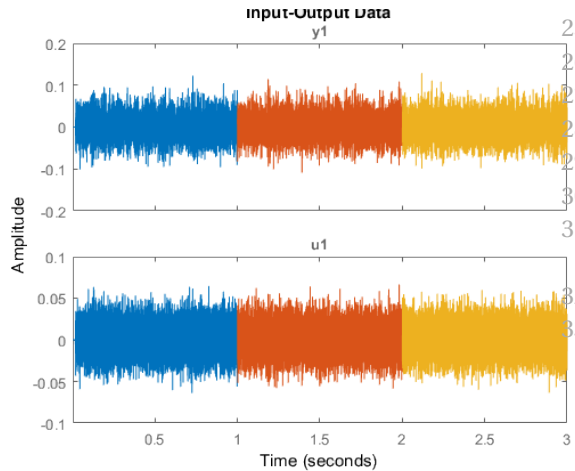


FIGURE 17 – Comparaison

## ii. identification le modèles á temps discret á partir de chaque jeu de données

On a utilisé un algorithm pour trouvé le meilleur ordre qui optimise le critère FPE, Le script Matlab pour le suivant :

```

1 %% 2) Identifier
2 %% a) data 1:
3 nf=1:10 ; nb=1:10; nk = 0;
4 order = struc(nb,nf,nk);
5 modoe1 = cell(size(order,1),1);
6 for ct = 1:size(order,1)
7 modoe1{ct} = oe(data1, order(ct,:));
8 end
9 V = fpe(modoe1{:}); [Vmin, order_min] =
    min(V);
10 modoe1 = oe(data1, order(order_min,:))
11 compare(data1,modoe1);
12
13 %% b) data 2 :
14 nf=1:10 ; nb=1:10; nk = 0;
15 order = struc(nb,nf,nk);
16 modoe2 = cell(size(order,1),1);
17 for ct = 1:size(order,1)
18 modoe2{ct} = oe(data1, order(ct,:));
19 end
20 V = fpe(modoe2{:}); [Vmin, order_min] =
    min(V);
21 modoe2 = oe(data1, order(order_min,:))
22 compare(data2,modoe2);
23
24 %% c) data 3 :
```

```

25 nf=1:10 ; nb=1:10; nk = 0;
26 order = struc(nb,nf,nk);
27 modoe3 = cell(size(order,1),1);
28 for ct = 1:size(order,1)
29 modoe3{ct} = oe(data1, order(ct,:));
30 end
31 V = fpe(modoe3{:}); [Vmin, order_min] =
    min(V);
32 modoe3 = oe(data1, order(order_min,:))
33 compare(data3,modoe3);
```

## iii. Validation croisée :

On compare chaque modèle avec les autres domaines restants qu'on a utilisé pour identifier les autres deux modèles :

```

1 %% 3) Validation coisee:
2 compare(data,modoe1,modoe2,modoe3)
```

Le résultat de simulation :

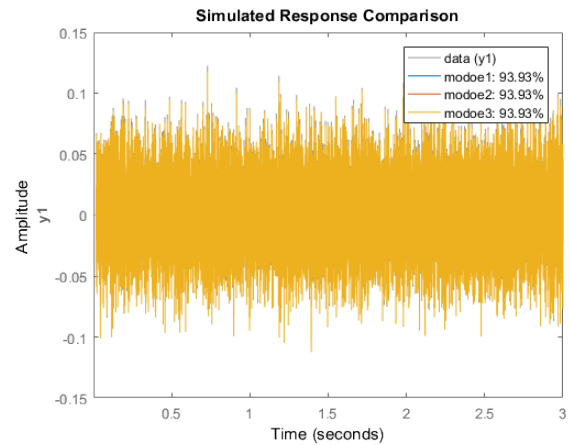


FIGURE 18 – Comparaison entre les trois modèles et les données de l'expérience

Les trois modèles sont de même précision et sont tous assez précis.

## iv. La réponse impulsionnelle

```

1 %% 4) Le retard:
2 cra(data,100); % nk = 3;
```

Le résultat de simulation :

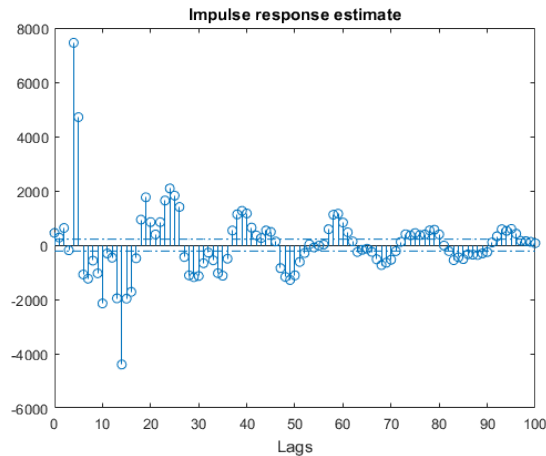


FIGURE 19 – La réponse impulsionnelle

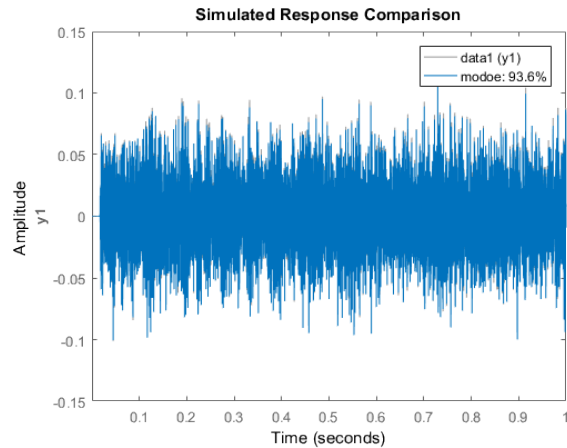


FIGURE 20 – Comparaison entre le modèle et les données de l'expérience

Le modèles est assez précis.

Remarque On peut dire que le retard est de 4 ou 3 unités .

## v. Identification pour plusieurs ordres de modèles

Le script Matlab :

```
1 nf=1:4 ; nb=1:4; nk = 4;
2 order = struc(nb,nf,nk);
3 modoe = cell(size(order,1),1);
4 for ct = 1:size(order,1)
5 modoe{ct} = oe(data, order(ct,:));
6 end
7 V = fpe(modoe{:}); [Vmin, order_min] =
    min(V);
8 modoe = oe(data, order(order_min,:))
9 compare(data1,modoe);
```

Le résultat de simulation :